

دراسة بعض العوامل المؤثرة في كفاءة إكساء سطوح الريش التوربينية بطريقة الرش الحراري

إسماعيل خليل جاسم، أنوار خالد فرمان
وزارة العلوم والتكنولوجيا ، دائرة علوم المواد
قسم الفيزياء ، كلية التربية ابن الهيثم، جامعة بغداد

الخلاصة

تم تحضير طلاءات من مادة مركبة سيرميتية ذات أساس من مادة الألومنيوم بنسوب مختلفة مع مادة رابطة معدنية من نيكل - المنيوم باستخدام طريقة الرش الحراري باللهم (Flame Thermal Spraying) .
أجريت عملية الطلاء على قواعد من سبيكة الانكونيل المستخدمة في الريش التوربينية بعد أن تم تقطيعها وتخسيسها بطريقة العصف الحبيبي (Grit Blast) .
تم دراسة العوامل المؤثرة على الاكساء بالاعتماد على مجموعة متغيرات مثل المسامية ، الصلادة ، مسافة الرش ، سمك الطلاء ، المعاملة الحرارية ، اضافة إلى تأثير نسب المادة الرابطة المضافة . على ضوء الاختبارات التجريبية تم اختيار الطلاء السيرمي الذي يحتوي على (50%) من المادة الرابطة كأفضل طلاء يمتاز بخواص ميكانيكية وحرارية جيدة .

لقد لوحظ بأن القيم المستحصلة من المسامية والصلادة تتأثر بصورة واضحة بفعل المعاملة الحرارية المناسبة للعينات (Heat Treatment) ، كما اعطت نتائج البنية المجهرية حالة انتشار وتجانس مع ترابط تساكي بين مكونات مادة الطلاء السيرمي .
أخيرا تم اختبار مدى صمود الطلاء السيرمي عند مديات درجات حرارية عالية ولفترات زمنية طويلة ولعدة مرات، فقد أظهرت النتائج وجود تماسك وترتبط جيد لطبقات

الطلاء السيرمي عند اجراء الدورة الحرارية (Thermal Cycling) لمرتين عند درجة حرارة (1000°C) ولمدة (8hr) .

المقدمة

أحدثت التطورات الكبيرة في تكنولوجيا هندسة الطبوخ إلى تطبيقات عملية لحماية الأجزاء المعرضة إلى التلف واعادتها إلى الخدمة وتقليل الكلفة وتحسين الأداء عن طريق عمليات الرش الحراري لكي تعطي غطاء حامي يسمى يتراوح (50μm - 2mm) من مواد الطلاء والتي تشمل المعادن والسبائك والمواد السيراميكية والمواد المركبة ولمختلف التطبيقات الصناعية (1-2) .

ان أهم الأجزاء الهندسية المعرضة للفشل هي الريش التوربيني (Turbine Blades) في المحرك التوربيني، وذلك بسبب كونها أجزاء دوارة تعمل في درجات حرارة عالية وبوجود أوساط آكلة (3-4) . لذلك فان هذه الريش التوربينية تصنع عادة من سبائك فائقة (Superalloys) نظراً لأمتلاكها خواص فيزيائية وميكانيكية جيدة مثل مقاومة التأكل الحار (Hot Corrosion) والاستقرارية الحرارية الجيدة (Thermal Stability) فضلاً عن المقاومة الجيدة ضد التأكسد (Oxidation) (5) .

ان المادة الهندسية المستخدمة والملازمة لهذه الظروف في تصنيع الريش التوربيني هي أحد أنواع سبيكة الأنكونيل (Inconel) ذات الأساس النيكل (5-6) وهي ذات كلفة عالية لذلك فان إعادة تأهيل وإرجاع هذه الريش التوربينية إلى الخدمة ثانية بعد حماية ومعالجة الطبوخ من التشققات (Cracks) يعد ذا أهمية وجودى إقتصادية كبيرة (Economically Effective) .

إن ظروف عمل هذه الريش التوربينية هو تعرضها لدرجات حرارة عالية مما يسبب لها التعرية (Erosion) بسبب حركة الغازات عالية السرعة ، فضلاً عن تأثير عمليات التشغيل والاطفاء التي تؤدي أيضاً إلى حدوث تشوّه في الأبعاد القياسية للريش مع تشققات وعيوب سطحية في حفاتها (Surface Damage) ، مما يضعف خواصها الميكانيكية و يجعلها عرضة إلى إشكال الفشل المختلفة أو الكسر (Fracture) (7) .

لقد بذل الباحثون في السنوات العشرة الأخيرة الجهد الكبير في مجال تحسين مقاومة السبائك المستخدمة في تصنيع الريش التوربينية أو عن طريق استخدام طرائق

الحماية المختلفة التي لم تثبت نتائجها كفاءة جيدة بعد لحماية عيوب الريش التوربينية (4-8). البحث الحالي يعد من المحاولات الجديدة في القطر لإنتاج مواد مركبة سيرミتية ذات أساس من الألومينا (Al_2O_3) وقوتها تكون عن طريق مادة رابطة معدنية على شكل دقائق من سبيكة (Ni-Al) وباستخدام تقنية الرش الحراري باللهاب (Thermal Spray) يمكن استخدامه لحماية اسطح الرش التوربينية من العيوب السطحية.

الجانب العملي

تم استخدام مسحوق الألومينا المصنوع من شركة (Metco) كمادة أساس وبحجم حبيبي ($45\text{ }\mu\text{m}$), والذي يمتاز بخصائص عزلية جيدة فضلاً عن مقاومته للبلى (Wear) عند الدرجات الحرارية العالية، أما مسحوق المادة الرابطة (Bond) فتم استخدام مسحوق ($Ni_{80}Al_{20}$) المصنوع من شركة (Amdry) Coating وبحجم حبيبي ($50\text{ }\mu\text{m}$) وذلك لمقاومته الجيدة للتأكمد عند الدرجات الحرارية العالية وإمتيازه بقوة تلاصق جيدة ما بين القواعد الأساسية (Substrate) وطبقات الإكساء السيراميكية.

إستخدمت قواعد الطلاء من الريش التوربينية (Turbine Blades) المصنوعة من سبيكة الألكونيل، وحللت عناصر هذه السبيكة بجهاز المطیاف الذري الكتّي (Atomic Mass Spectroscopy) فضلاً عن المواد المركبة المستخدمة في عملية الطلاء وقارنت نتائجها بالمواصفات القياسية والموضحة في جدول رقم (1).

حضرت عينات المادة المركبة السيرميّة من أخذ نسب مختلفة من مسحوق المادة الرابطة ونسبة وزنية مقدارها % (25, 35, 50, 75) وتم إضافتها إلى مسحوق المادة الأساسية من الألومينا. استخدم خلاط كهربائي ذو كرات من التفلون لمدة (2hr) لخلط المزيج مع إجراء معاملة حرارية أولية عند (150°C) لمدة (2hr) قبل عملية الطلاء لغرض تجفيف دقائق المساحيق من تأثير الرطوبة والحصول على دقائق لدنّة تكون مؤهلة لإنتاج طلاء ذات قوة تلاصق جيدة مع المادة الأساسية.

أسطح عينات قواعد الأنكونيل حضرت قبل عملية الرش الحراري باستخدام جهاز عصف حبيبي (Grit Blast) لغرض زيادة خشونتها، وذلك من خلال استخدام حبيبات كاربيد السليكون (SiC) بمدى اقطار من (0.7-1.5mm) ، وقد حددت خشونة العينات (Roughness) من خلال جهاز فحص الخشونة (Mahr Perthen) بمدى يتراوح ما بين (35-55 μm) .

الشكل (1-a) يوضح البنية المجهرية لمسحوق (SiC) المستخدم بعملية التخشين أما الشكل (1-b) يمثل البنية المجهرية لسطح طبقة الأنكونيل المصنعة منها الريش التوربينية بعد تنظيفه وتخسينه بالقصف بوساطة كاربيد السليكون .

تم استخدام منظومة الرش باللهم (Flame Spraying System) المصنعة محلياً والموجودة في جامعة بغداد / قسم الفيزياء والموضحة في شكل (2) لرش المسحوق السيرمي المحضر (Cermets Powder) نحو قاعدة الطلاء، الحرارة اللازمة لصهر مساحيق الطلاء السيرمية تم الحصول عليها من خلال احتراق الوقود الغازي (Fuel gases) والتي تشمل غازيا الأوكسجين والأستيلين، أما مساحيق المواد المركبة فانها تتغذى من فتحة متصلة بمسدس الرش من الجهة العلوية ، بينما يعمل ضغط الهواء المسلط على حمل القطرات المنصهرة بسرعة بإتجاه القاعدة الأساس .

تم اختبار أفضل معلمات رش من خلال إجراء سلسلة تجارب أولية لغرض الحصول على طبقات طلاء ذات قوة تلاصق جيدة وسمك معين ، حيث تم الاعتماد على المعلمات: زاوية الرش ، المسافة بين مسدس الرش والقواعد ، نسبة المادة الرابطة والحجم الحبيبي لمساحيق مواد الطلاء .

تم دراسة التركيب الدقيق للطلاءات بعد الرش باستخدام المجهر الإلكتروني الماسح (Scanning Electronic Microscope) لمشاهدة طوبوغرافية أسطح العينات فضلاً عن عدة فحوصات مثل المسامية (Porosity) بطريقة الغمر لأرخميدس (Immersion Method) وإختبار الصلادة بطريقة فيكرز (hardness Vickers) أو تعريض عينات الطلاء إلى دورات حرارية (Thermal Cycling) لفترات زمنية مختلفة .

النتائج والمناقشة

بعد إكمال عملية الرش والحصول على طبقة المواد المركبة الناتجة من إضافات وزنية مختلفة لمحض الألومينا إلى مسحوق نيكل - المنيوم وبنسب (25, 35, 50, 75) تم إجراء عدة اختبارات مثل المسامية والصلادة لطبقة الطلاء المنتجة ، لقد وجد أن الطلاء السيرمي ذو النسبة (50%) يحمل معلمات مثالية للرش الحراري ، الجدول (2) يوضح النتائج المستحصلة والتي يلاحظ فيها بأن أقل نسبة مسامية تم الحصول عليها بحدود (10.52%) ، ولغرض تقليل هذه النسبة في مادة الطلاء السيرميتمة أجريت المعاملة الحرارية عند (1000°C) ولمدة زمنية (1.5hr) . لقد لوحظ تغير ملحوظ في الإنخفاض إلى (5.44%) وقد أوزع إلى تكون مناطق ترابط بين طبقات الطلاء السيرميتمة بسبب حدوث عمليات تلبيد وإنشار بين الذرات ومحاولتها غلق المسامات بعد المعاملة الحرارية ، صاحب ذلك أيضاً تغير ملحوظ في قيم الصلادة حيث إزدادت القيمة من (47.48 HvT) إلى (56.22 HvT) ، الشكل (3) يوضح البنية المجهرية لمادة الطلاء السيرمي وبسمك (1.45mm) قبل إجراء المعاملة الحرارية ، حيث يلاحظ التجانس الواضح في مادة الطلاء فتظهر الألومينا بشكل متافق مع المادة الرابطة (Ni-Al) وإن هناك حالة إنشار وترابط تسبيكي بين مكونات المؤلفات السيرميتمة المخلوطة .

اما بعد اجراء المعاملة الحرارية في فرن حراري نوع (Carbolite) وفي أجواء اعتيادية عند (1000°C) ولمدة (1.5hr) ، فقد لوحظ (الشكل 4) بأن حجوم الحبيبات تبدو صغيرة ومنتظمة دلالة على أن جميع الإجهادات المتولدة خلال تصلب القطرات قد تم إزالتها وأن هناك حالة تسابك وترتبط قوي بين طبقات الطلاء مع قلة الدقائق المتراكدة كما يلاحظ من الشكل (4) أيضاً بأن الطلاء السيرمي الذي نسبة إضافة المادة الرابطة فيه (50%) تمتلك حجوم حبيبات بمدى يقارب ($25\mu\text{m}$) ، مما يحسن من كثافة الطلاء السيرمي وتتجانسه بصورة أفضل من الطلاء الذي نسبة إضافة فيه (35%) والتي ينخفض عندها الحجم الحبيبي إلى ($20\mu\text{m}$) . إن ذلك يتفق مع ما أجراه الباحث (Ghosh) وأخرون (10) والذي درس علاقة الحجم الحبيبي

مع المسامية للمادة المركبة المتكونة من (Al_2O_3) المضافة الى المادة الرابطة (Al-4%Mg) وأثرها على خاصية مقاومة الشد القصوى .

لقد لوحظ بان نقصان الحجم الحبيبية يؤدي الى زيادة نسبة المسامية وإضعاف مقاومة الشد القصوى مع قيم الصلادة المجهرية بعد تثبيت الخواص القياسية للطلاء السرمي والموضحة في جدول (2) . أخذ البحث الجانب التطبيقي ، حيث تم تعريض عينات الريش التوربينية التي تم حمايتها بالطلاء السيرمي الى دورات حرارية مختلفة (Thermal cycling) وذلك لغرض بيان مدى مقاومة الطلاء للظروف الحرارية العالية وبدون آية عيوب سطحية ظاهرة . لقد عممت النماذج عند درجات حرارية مختلفة (800 ، 950 ، 1050 ، 1150) وبمعدل تسخين (100 درجة مئوية / ساعة) تحت أجواء اعتيادية وخلال فترة زمنية ثابتة لمدة (10 ساعات) مع الإبقاء على العينات داخل الفرن لغرض التبريد البطيء وتكرار نفس الدورة الحرارية لعدة مرات .

أوضحنا نتائج البنية المجهرية عن وجود تجانس مسطحى للطلاء الغطائى السيرمى (Top Coating) تحت درجة (1050°C) وأن هناك تداخلا (Interface) بين مادة الطلاء السيرمى والقاعدة وذلك عند تكرار الدورة الحرارية لمرتين كما تم ملاحظة قيم الحجم الحبيبي عند مديات درجات الحرارة ، فقد كان بحدود (21 μm) عند (800°C) (950) مع انعدام المسامات ، ما ليث أن إنخفض الحجم الحبيبي الى (13 μm) عند (1050°C) مقارنة بزيادة المسامات ، أما عند زيادة درجة الحرارة الى (1150°C) فقد لوحظ إنخفاض الحجم الحبيبي (9 μm) وإزدياد نسبة المسامية الى (26%) وكما يلحظ من الجدول (3) . إن النتائج المستحصلة تتطبق على ما وجده العالمان (Miller & Zhu) (11) ، عند دراستهما العلاقة بين الحجم الحبيبي والصلادة الميكانيكية لطبقات الطلاء السيرمية المتكونة من $\text{ZrO}_2 + 5\text{Y}_2\text{O}_3 + \text{Ni} - \text{Cr} - \text{Al}$ (Plasma Spray) . لقد لاحظا بأن الدورة الحرارية عند (1300°C) خلال (8hr) وبتكرار (3) مرات يصاحبها إنخفاض الحجم الحبيبي في البنية المجهرية ، ويقل مع زيادة ارتفاع درجات الدورة الحرارية ، مع بدايات ظهور إنتشار المسامات وعدم تجانس بين

مكونات طبقات الطلاء ، لقد تم تفسير هذه الظاهرة بأنها تعود الى حالة التأكسد (Oxidation) لطبقات الطلاء نتيجة تعرضها لدرجات حرارة عالية ، حيث تؤدي الأكسدة المتواجدة على الحدود البلورية الى تركيز الإجهادات (Stress Concentration) ومن ثم ذلك يؤدي الى إنخفاض قيم الحجم الحبيبي مع نشوء التشققات على طبقات الطلاء ، لذلك فان عملية الأكسدة هي ذات تأثير سلبي على عمل الأجهزة التي تتعرض الى درجات حرارية عالية بسبب تعديها من حدوث العيوب السطحية لطبقات الطلاء .

لقد أثبتت النتائج التجريبية بأن تعریض نماذج قطع الريش التوربيني ذات الطلاء السيرمي الى درجة حرارة (1150°C) ولمدة (10hr) ولعدة دورات حرارية ، يؤدي الى حدوث إنتشار التشققات السطحية (Crack propagation) مع إنتشار المسامات والإنتفصال (Segregation) كما يلاحظ في الشكل (5) قد إزداد مع زيادة عدد الدورات الحرارية . أن السبب ربما يعود الى التشوّهات المرنة (Plastic Deformation) لطبقات الطلاء السيرمي حيث أصبحت بحالة مرنة (Ductility) ومهيئة للانخلاع والتشقق (12) . كما يلاحظ من الشكل (5) أيضاً عدم تجانس البنية المجهرية عند جميع الدورات الحرارية ، ويعتقد إنها بداعيات الى إنصهار الألミニوم والإنتشار ضمن عناصر طبقات الطلاء السيرمي . كما لوحظ أيضاً بأن هناك زيادة في الوزن أصبحت واضحة عند ارتفاع درجات الدورات الحرارية (جدول 3) ، حيث يعتقد بأن عملية الأكسدة وإرتفاع نسب المسامية والعيوب السطحية لها دور في هذه الزيادة الحاصلة .

من النتائج الموضحة أعلاه نستطيع أن نوجز بأن الطلاء السيرمي المستخدم له قابلية الصمود الحراري عند (1000°C) وبدون آية عيوب سطحية ظاهرة مما يؤهل هذا الطلاء للإستخدام كعازل حراري (Thermal Barrier) لكثير من الريش التوربيني وبعض الأجزاء الحرارية التي يتطلب عملها تحمل درجات حرارية عالية .

الاستنتاجات

يمكنا تلخيص الاستنتاجات التي تم التوصل اليها بما يأتي :

- تتأثر مسامية طبقة الطلاء السيرميتية الناتجة بتغير نسبة المادة الأساس ، وكانت أفضل النسب (50%) حيث حصلنا عندها على أقل قيمة للمسامية وهي (10.52%).
- تبعاً لتغير المسامية مع نسبة المادة الأساس تتغير أيضاً صلادة طبقة الطلاء السيرميتية وكانت أفضل قيمة للصلادة (47.48 HvT).
- كان للمعاملة الحرارية للعينات الأثر الكبير في تغير كل من قيم المسامية والصلادة حيث أن المعاملة الحرارية بأجواء اعتيادية وعند درجة (1000°C) ولمدة (1.5hr) أدى إلى انخفاض قيمة المسامية إلى (5.44%) وإزدياد قيمة الصلادة إلى (56.22 HvT).
- تغير قيمة الحجم الحبيبي لمادة الطلاء السيرمتي مع نسبة المادة المضافة أيضاً . فكان أفضل حجم حبيبي عند النسبة (50%) حيث كان بمقدار يقارب ($m(25\mu)$).
- صمود طبقات الطلاء السيرميتية عند تعريضها لدورات حرارية عند درجة حرارة (1000°C) ولعدة مرات وبدون آية عيوب سطحية ظاهرة مما يؤهل هذا الطلاء للاستخدام كعزل حراري (Thermal Barrier) لكثير من الريش التوربينية وبعض الأجزاء الحرارية التي يتطلب عملها تحمل درجات حرارية عالية .

References

- 1-Meethaen, G.W. (2000) Materials for High Temperature Engineering Application.
- 2- Martengo, P.C. and Caruchi, C.,(1989) Materials and Coating to resist high temperature corrosion, P.293.
- 3- Viswanathan, R. and Dolbec, A.C., (1987) Jor of “Engineering for turbine and power 109:115.
- 4- Erickson J.S. and Versnyder F.L., (1999) proc.conf, “on High temperature materials in gas turbines “, Switzerland, P.315.
- 5- Fawley R.W.,(2000) The superalloys, John Wiley and Sons, 5th ed, New York.

- 6-Michael , F. and David, R.H., (1995) Eng Materials An introduction to their properties and application, Oxford.
- 7- Schwartz, M.M., (1989) Composite material, Hand Book, Mc-Graw Hill, New York.
- 8- Witt, M. De. and Stubbe, J., (1986), proc. Conf. on "High Temperature alloys for gas turbines and other applications ", Belgium, P.1571.
- 9- Vinson ,J.R. and Chou ,T.W., (1999), Composite Materials and their use in structure, London.
- 10- Ghosh , P.K. and Ray ,S. (1986) , Material Science , 22 :421
- 11 – Zhu, D. and Miller, R.A., (2000), Thermo physical and thermo mechanical properties of thermal barrier coating $ZrO_2 + 5Y_2 O_3$ System , Ceram. Dci.Proc, 21:623
- 12- Jassim, I.K. and Agool, I.R., (2005), Physics Journal, University of Baghdad, to be published.

جدول (1) التحليل الكيميائي لكل من المادة الرابطة والأساس مع القاعدة

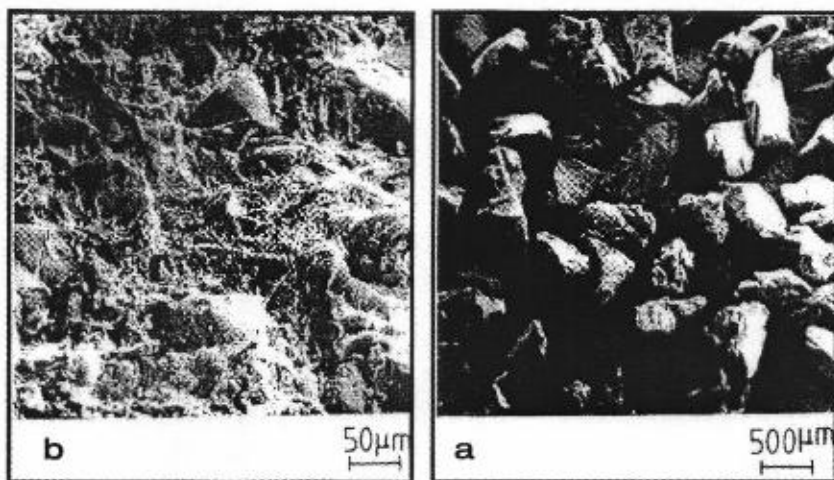
Materials	Standard Analysis Wt (%)	Element Analysis Wt(%)	Company Type	Powder particle size (μm)
Bond Coating	Ni:80 Al:20	Ni:80 Al:20	Amdry Type (997)	30-50
Matrix	$Al_2O_3 : 99$ Other : $Na_2O \leq 0.4\%$ $SiO_2 \leq 0.2\%$ $FeO \leq 0.05\%$	$Al_2O_3 : 98.7$	Metco Type (110)	20-45
Substrate IN-738	C:0.17 Mo:2.6 Cr:16.0 W:2.7 Co:8.5 Al:3.4 Ti:3.4 Ni:Bal	C:0.17 Mo:1.58 Cr:15.51 W:2.67 Co:8.36 Al:3.14 Ti:3.69 Ni:Bal	Air Force (Aero engines Dep.)	Inconel Alloy (Turbine Blades)

جدول (2) معلمات الرش المثالية قبل اجراء المعاملة الحرارية

القيمة	معلومات الرش المثالية
(50% + 50%)	نسبة الاضافة للمادة الرابطة (Ni-Al) مع المادة الاساس (Al_2O_3)
12cm	مسافة الرش
1.45mm ± 0.003	السمك
10.52%	المسامية
47.48 HvT	الصلادة

جدول (3) نتائج الدورة الحرارية للطلاء السيرمي (50% Ni-Al + 50% Al_2O_3)

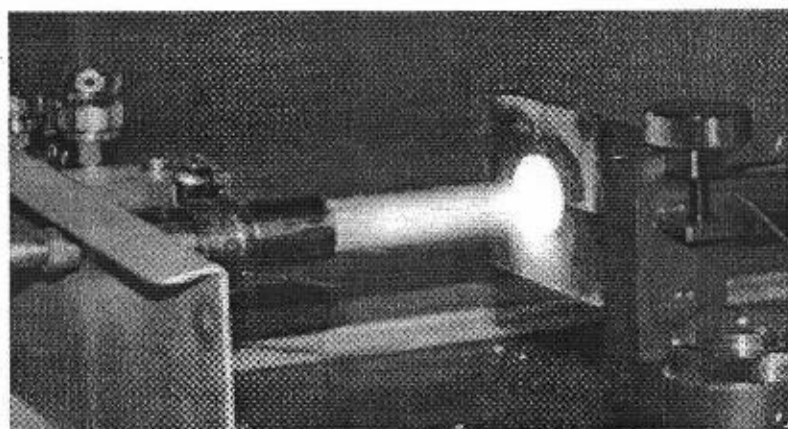
الوزن Weight gain gm	المسامات %	الملاحظات	الفترة الزمنية hr	الحجم الحبيبي μm	الدرجة الحرارية $^{\circ}\text{C}$	عدد الدورات
----	----	تماسك جيد	8	21	800	2
----	----	تماسك جيد	8	21	950	2
0.112	17%	عدم تماسك وظهور مسامات وعيوب سطحية	10	13	1050	2
0.271	26%	عدم تماسك وظهور مسامات وعيوب سطحية	10	9	1150	3



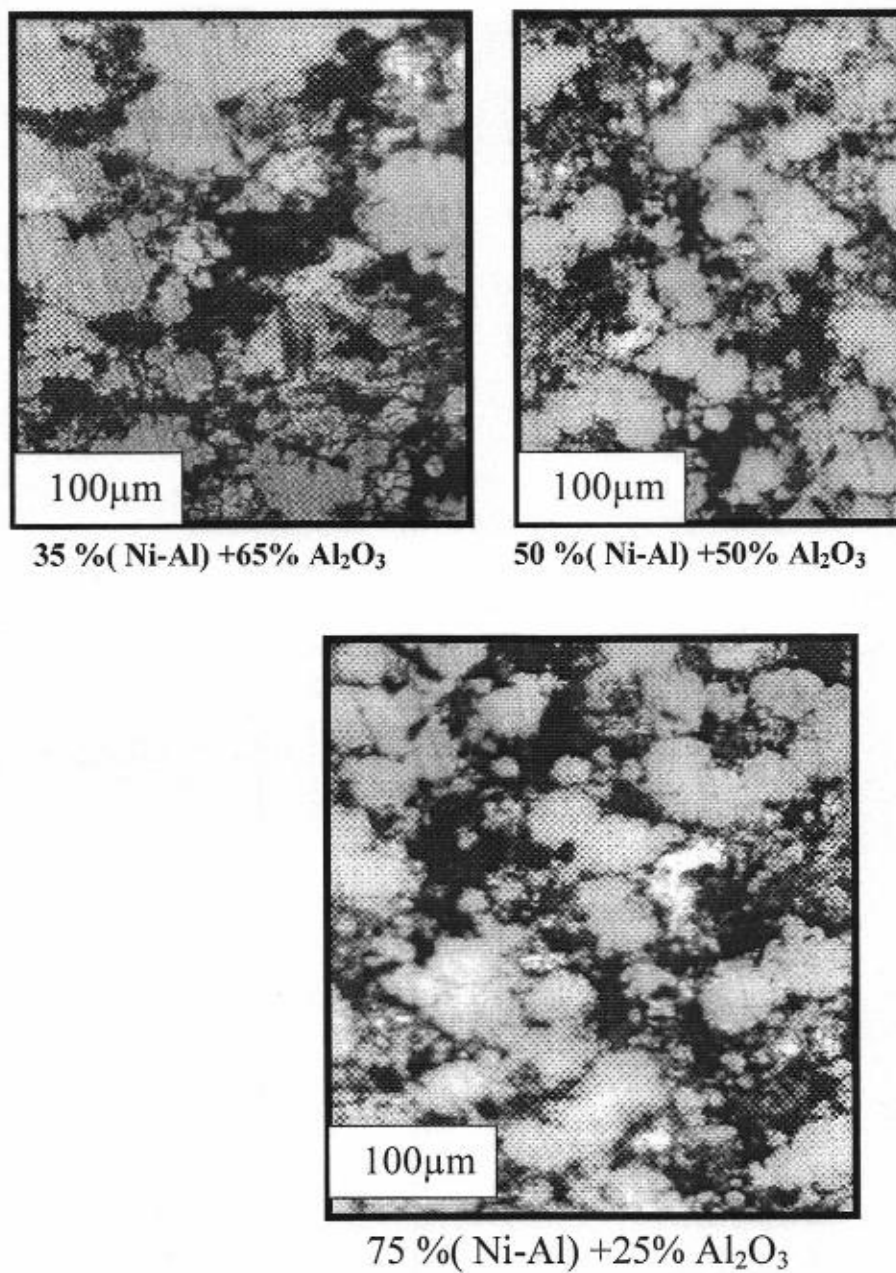
شكل (1) يوضح

a - البنية المجهرية لمحوّق (SiC) المستخدم في عملية القصّ عند تخسيّن السطح
المراد طلاوه.

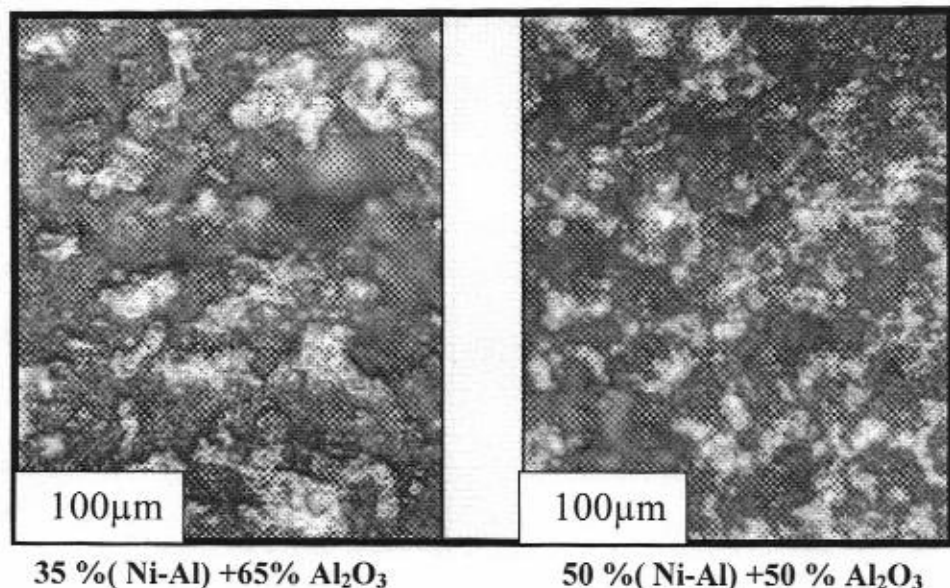
b - البنية المجهرية لسطح طبقة الألكونيل بعد تخسيّنها بالقصّ بمحوّق كاربيد
السليكون.



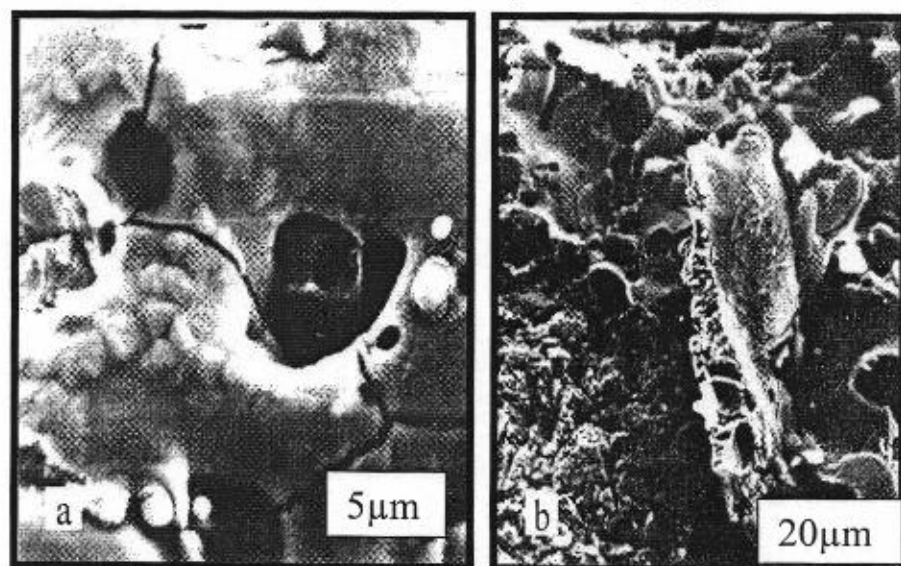
شكل (2) مسدس الرش الحراري



شكل (3) التركيب المجهرى للعينات بعد الرش وقبل المعاملة الحرارية



شكل (4) التركيب المجهرى للعينات بعد اجراء المعاملة الحرارية
على درجة (1000°C) ولمدة (1.5hr)





شكل (5) البنية المجهرية للمادة السيرمية ذات النسبة 50 %(Ni-Al) +50 % Al_2O_3 عند اجراء الدورة الحرارية عند (1150°C) خلا (1.5hr) في حالة
دورة واحدة b: دورتين c: ثلات دورات a:

Study Some Parameters That Effecting On The Coating Efficiency Of Turbine Blades Produced By Thermal Spraying

I.K.Jassim, A.Kh. Farman

Ministry of Science and Technology,

Department of Material

Department of Physics, College of Education, Ibn-Al-Haitham, University of Baghdad

Abstract

Flame thermal spray technique has been used to produce a cermets composite coating based on powders of ceramic oxides (Al_2O_3) reinforced by mineral powders as bonding material (Ni - Al) at different rates on Inconel substrates , after preparing it by grit blasting .

After completing the best parameters of coating such as distance of spraying , surface roughness and angle of spraying , the tests of porosity , hardness , microstructure and thermal cycling have been made .

The experimental results show that all properties of coating were effected after heat treatment. The best value of heat treatment is at (1000°C) for (1.5hr) in which the results show a good interface between layers with very small pores.

Also we studied the effect of thermal cycling at high temperature for several times to see the effect of heating on the top surface of layer coating.